

بررسی تاثیر گسل شمال تبریز بر ویژگی‌های کمی و کیفی منابع آب زیرزمینی مجاور در شرق تبریز

حسین رجب پور^۱، عبدالرضا واعظی هیر^{۲*}

۱. دانشجوی دکتری هیدروژئولوژی گروه علوم زمین دانشگاه تبریز

۲. دانشیار گروه علوم زمین دانشگاه تبریز

تاریخ دریافت: ۹۴/۱۷/۲۸

تاریخ پذیرش: ۹۵/۰۳/۱۱

چکیده

بر اساس نتایج این مطالعه، گسل شمال تبریز به عنوان ساختار تکتونیکی برجسته در شمال غرب ایران تاثیر زیادی بر شرایط هیدروژئولوژیک آبخوان محلی منطقه داشته است. بر اساس بررسی‌های هیدرواستراتیگرافی لایه‌چاه‌های منطقه، از تجمع توفهای تراوا، آبخوان غیر محبوسی تشکیل شده و در کل منطقه به صورت مستقیم بروی مارن قرمز رنگ می‌باشد (سنگ کف)، فرار گرفته است. سنگ کف بخش شمالی آبخوان در ترازی بالاتر از سنگ کف بخش جنوبی قرار گرفته و می‌تواند دلیلی بر وجود حرکت شیب لغز معکوس گسل در این منطقه باشد که در اثر آن، بخش شمالی (فرادیواره) بروی بخش جنوبی (فرودیواره) لغزیده است. اختلاف تراز سنگ کف در فاصله‌ای نسبتاً کم (کمتر از ۲۰۰ متر)، می‌تواند نشانه‌ای بر شیب نزدیک به قائم برای گسل باشد. مجموع عمق چاه‌های بخش جنوبی، چهار برابر بخش شمالی و مجموع آبدیهی سالانه چاه‌های بخش جنوبی در حدود هشت برابر بخش شمالی است. همچنین، اختلاف بین تراز سطح آب زیرزمینی طرفین گسل در برخی مقاطع در فاصله‌ای حدود ۲۰۰ متر به بیش از هشت متر بالغ می‌شود. نتایج ارزیابی تغییرات کلرو EC، نشانه وجود تغییرات شدید کیفی آب زیرزمینی در عرض زون گسلی است. نتایج حاصله می‌توانند نشانه‌ای بر فرatar مانع وارگسل در مقابل جریان از عرض آن در این منطقه باشد. بررسی سختی کل و غلظت بیون‌های موجود در آبهای منطقه نشان می‌دهد که اکثر نمونه‌های بخش شمالی جهت مصارف شرب مناسب نمی‌باشند ولی نمونه‌های بخش جنوبی جهت شرب مناسب می‌باشند. در حالی که تمامی نمونه‌های بخش شمالی دارای ضریب لازلیه منفی (خورنده) می‌باشد. تمامی نمونه‌های بخش جنوبی دارای ضریب لازلیه مثبت خیلی نزدیک به صفر است و حاکی از متعادل بودن این آبهای می‌باشد. این با واقعیت منطقه نیز تطابق کامل دارد چرا که اکثر صنایع موجود در منطقه در بخش جنوبی گسل متتمرکز شده‌اند.

واژه‌های کلیدی: هیدروژئولوژی زون گسلی، آب زیرزمینی، گسل شمال تبریز، ساختار آبخوان.

مقدمه^۱

گسل‌ها در پوسته‌ی زمین در مقیاس‌های مختلفی تغییر دهند. گسل‌ها همچنین می‌توانند بر نحوه توزیع منابع طبیعی همچون آب‌های زیرزمینی تأثیرگذار باشند (Rawling and Goodwin 2003). فرآیندهای تکتونیکی مخصوصاً گسل‌ها و شکستگی‌ها، در ابعاد کمی و کیفی فرآیندهای هیدروژئولوژیکی نقش

* نویسنده مرتبط: vaezihir@yahoo.com

صحرائی حاکی از رفتار مجرابی پهنه خردشده در مقابل جریان آب زیرزمینی و به موازات سطح گسل می‌باشد در حالی که هسته گسل (به ویژه گسل‌های معکوس) به عنوان پهنه‌ای با کمترین میزان تراوائی، همانند سدی نفوذناپذیر در مقابل جریان آب زیرزمینی عمود بر سطح گسل رفتار می‌نمایند (Chester and Logan, 1986; Caine et al., 1996).

گسل‌ها بسته به نوع شان تاثیرات متفاوتی بر شرایط هیدروژئولوژیک آبخوان‌ها دارند. گسل‌هایی که سازو کار کششی داشته باشند، قابلیت بیشتری نیز جهت هدایت آب دارند و بر عکس، گسل‌های دارای سازو کار فشارشی، مسیرهای مناسبی برای جریان و انتقال آب‌های زیرزمینی نیستند. گسل‌های نرمال در اثر کشش ایجاد شده‌اند، در نتیجه این امکان وجود دارد که به میزان چند سانتی‌متر بازشدنی نشان دهند. هر چند این بازشدنی‌ها به مرور زمان ممکن است در اثر کلسیت ثانویه و یا پرینش گسلی پر شوند. گسل‌های معکوس و گسل‌های امتدادلغز در اثر نیروهای فشارشی ایجاد شده‌اند و می‌توانند به صورت نفوذناپذیر عمل نمایند (Goldscheider, 2008).

در مطالعات هیدروژئولوژیک پهنه‌های گسلی، شکل پروفیل بار هیدرولیکی که ممکن است حالت پله‌ای یا انحنا را در شب هیدرولیکی نشان دهد می‌تواند جهت استنباط جهت و میزان جریان آب زیرزمینی و ارائه‌ی شاخصی از رفتار هیدروژئولوژیک پهنه گسلی به صورت مانع یا مجرما برکار رود (Haneberg, 1995; Bense and person, 2006)، هیدروژئوشیمی (Anderson and Bakker, 2008) آب زیرزمینی در کنار مشاهدات بار هیدرولیکی می‌تواند مسیر جریان آب زیرزمینی را در پهنه گسلی مشخص کند (Bethke and Johnson, 2008; Leray et al., 2012).

با توجه به مطالب فوق، مطالعه و بررسی فرآیندها و ساختارهای تکتونیکی در مطالعات هیدروژئولوژیکی از اهمیت بالایی برخوردار است. هدف اصلی این مطالعه، تعیین ویژگی‌ها و رفتار هیدروژئولوژیکی گسل شمالی تبریز، تغییرات کیفیت و کمیت آب زیرزمینی در دو سوی آن، تاثیر حضور گسل بر منابع آب زیرزمینی مجاور آن و درنهایت تأثیر آن بر پراکنش و تمرکز فعالیت‌های انسانی وابسته به منابع آبی متاثر و هم‌جوار آن است.

اساسی و مهمی را ایفا می‌کنند. درز و شکاف‌های ایجاد شده در زمین بر اثر گسل‌ش، موجب نفوذ بهتر آب‌های روان و یا آب‌های جوی ناشی از بارش و در نتیجه غنی شدن منابع آب زیرزمینی می‌شوند. گسل‌ها گاهی موجب تغییر مسیر رودها، ایجاد آبراهه‌ها (مثالاً گسل‌ش یک سفره آبدار محبوس سبب برداشته شدن فشار و حرکت آب به سمت سطح و جاری شدن آن می‌شود)، پیدا آمدن چشم‌های مختلف و ایجاد اشکال هیدروژئولوژیکی گوناگونی می‌شوند (White, 1988; Milanovic 1988).

زون‌های گسلی در پوسته‌ی کم عمق (کمتر از یک کیلومتر)، به صورت شبکه‌بندی زمین، فرآیندهای زمین‌شناسی را تحت تأثیر قرار می‌دهند (Bense et al., 2013). گسل‌ها، الگوی جریان آب زیرزمینی در آبخوان‌ها را متأثر می‌نمایند (Burbey, 2008; Folch and Mas-Pla, 2008) و تراوایی سینگ‌ها را که عامل مهمی در جابجایی آب‌های زیرزمینی است، تحت تأثیر قرار می‌دهند (Geraud et al., 2006).

اثر ویژه‌ی گسل‌ها بر جریان آب زیرزمینی در محیط‌های زمین‌شناسی گوناگون، پیچیده و متنوع است و اغلب با وجود اهمیت فهم چگونگی جریان سیال در پیرامون زون‌های گسلی در اعماق کم پوسته‌ی زمین، به خوبی درک نشده است (Mayer et al., 2007; Bense et al., 2013). نخستین منطقه از زون‌های گسلی، شامل هسته‌ی گسل می‌شود که به وسیله‌ی زون خردشده (Damage Zone) احاطه شده است. هسته‌ی گسل، به عنوان پهنه شدیدترین تنش، در مرکز پهنه گسلی حضور دارد و با بیشترین جابجایی در پهنه گسل همراه است. پهنه خردشده، شامل ساختارهای ثانویه از قبیل شکستگی‌ها، گسل‌های فرعی کشیده شده درون فرودیواره و فرادیواره می‌شود که با قیماندهی و اتنش درون پهنه گسلی هستند. پروتولیت، به مواد زمین‌شناسی تغییر شکل نیافته‌ی پیرامون پهنه گسلی اطلاق می‌شود (Bense et al., 2013).

آزمایش‌های صحرائی و آزمایش‌گاهی متعدد نشان داده است که پهنه خردشده، دارای تراوائی بیشتری از هسته گسل و پروتولیت است و تراوائی در هر زون شدیداً آبیزوتrop می‌باشد (Forster and Evans, 1991). همچنین، برخی آزمایش‌های

آبخوان از روی لگ زمین‌شناسی ۵۱ حلقه چاه محفوره فعال در آن، مورد بررسی و تفسیر قرار گرفتند. شکل ۲، موقعیت و پراکندگی این چاه‌ها در منطقه را نشان می‌دهد. اطلاعات حاصله، جهت انطباق واحدهای زمین‌شناسی و شناسایی ساختار آبخوان بکار گرفته شدند. همچنین، در فروردین ماه سال ۱۳۹۳، تراز سطح آب زیرزمینی در چاه‌های یاد شده برای رسم الگوی بارهیدرولیکی در طرفین گسل اندازه‌گیری شده و به صورت همزمان، نمونه‌های آب زیرزمینی از این چاه‌ها برای آنالیز آزمایشگاهی جمع‌آوری شدند. مقادیر هدایت الکتریکی نمونه‌های آب (EC) و pH در صحرا و همزمان با نمونه‌برداری اندازه‌گیری شدند. نتایج آنالیزهای صحرائی و آزمایشگاهی برای تهیه نمودارهای مناسب جهت آشکارسازی تاثیر گسل بر آبخوان مجاور بکار گرفته شد. در نهایت رفتار هیدروژئولوژیک گسل در مقابل جریان آب زیرزمینی محلی، تغییرات کیفی آب زیرزمینی در دو سوی آن و تاثیر آن بر پراکندگی و عمق و میزان آبدیه سالانه چاه‌ها و صنایع وابسته به آب آنها در منطقه حاصل و تحلیل شد.

زمین‌شناسی منطقه مورد مطالعه

وضعیت زمین‌شناسی امروز ایران عمدتاً حاصل حرکات صفحات عربی و اوراسیا در اواخر دوره کرتاسه و اوایل دوره پالئوزون می‌باشد (Djamour et al., 2011). منطقه شمال غرب ایران، بخشی از سیستم تکتونیکی پیچیده‌ای است که حاصل تداخل صفحات عربی، آناتولی و اوراسیا می‌باشد و در برگیرنده سیستم پیچیده‌ای از گسل‌ها است (Sengore et al., 2005; Jackson, 1992). بخشی از گسل شمال تبریز در منطقه مورد مطالعه واقع شده است که متعلق به سیستم گسلی با مقیاس ناحیه‌ای بوده و سیستم گسلی آناتولی در ترکیه را به رشتۀ کوه‌های البرز در ایران متصل می‌کند. گسل یاد شده، محل تلاقی حرکات رو به شمال صفحه عربی و حرکات رو به غرب صفحه آناتولی نسبت به صفحه اوراسیا می‌باشد (Moradi et al., 2011).

گسل شمال تبریز، ساختار تکتونیکی برجسته‌ای در شمال غرب ایران محسوب می‌شود که با مکانیزم امتدادلغز راستگرد در مجاورت و شمال شهر تبریز واقع شده است.

موقعیت جغرافیایی منطقه مورد مطالعه

منطقه مورد مطالعه در شمال غرب ایران و در مجاورت کلانشهر تبریز واقع شده است (شکل ۱). این منطقه در شرق تبریز قرار گرفته و با میانگین بارش سالانه ۲۹۷ میلی‌متر و میانگین دمای سالانه ۱۱ درجه سلسیوس، بر اساس اقلیم نمای آمبرژه (Emberger, 1955) دارای اقلیم سرد خشک می‌باشد. این منطقه فاقد رودخانه و جریانات سطحی دائمی یا فصلی بوده و آبخوان محلی آن، تنها منبع تامین آب می‌باشد.

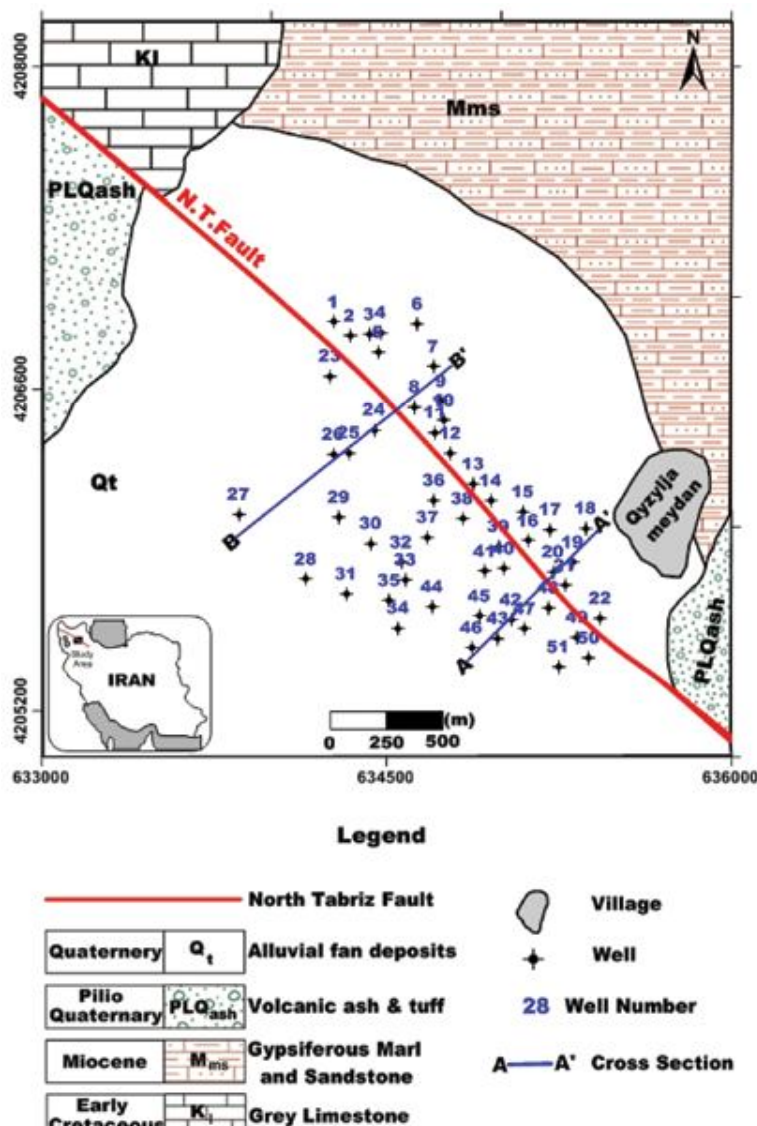


شکل ۱. موقعیت منطقه مورد مطالعه و گسل شمال تبریز در استان آذربایجان شرقی و ایران

روش مطالعه

برای بررسی تاثیر زون گسلی بر ویژگی‌های آبخوان و رفتار هیدروژئولوژیک این زون‌ها، شواهد صحرائی ساختاری و هیدروژئولوژیک مورد نیاز است. شواهد ساختاری شامل بررسی جابجایی سنگ کف آبخوان و لایه‌های آبدار و نیز تغییرات ضخامت پهنه اشباع در طرفین پهنه گسلی می‌باشد. شواهد هیدروژئولوژیک، بررسی الگو و تغییرات بارهیدرولیکی و نیز تغییرات احتمالی در خصوصیات هیدروشیمیابی آب زیرزمینی در طرفین پهنه گسلی را شامل می‌شود. بدین منظور و جهت بررسی تاثیر گسل شمال تبریز بر آبخوان محلی مجاور آن در این منطقه، ساختار زمین‌شناسی و ویژگی‌های هیدرواستراتیگرافی لایه‌های

(شکل ۱). این گسل با امتداد شمال غرب-جنوبشرق با آن نزدیک به قائم می‌باشد (Vafaei et al., 2011).



شکل ۲. نقشه زمین‌شناسی منطقه مورد مطالعه و خطواره گسل شمال تبریز

شکل‌گیری وضعیت زمین‌شناسی و سیمای مورفولوژیکی منطقه مورد مطالعه نقش اساسی داشته‌اند.

بحث

موقعیت، عمق و آبدهی چاهها همان‌گونه‌که در شکل ۲ نمایان است، چاه‌های منطقه اکثرًا در مجاورت گسل و به موازات راستای آن پراکنده

زمین‌شناسی منطقه متشكل از واحدهای زیر است: مارن‌های قمزرنگ زیپس‌دار میوسن با میان لایه‌های ماسه سنگی در شمال و شرق منطقه، آهک‌های نازک لایه کرتاسه در شمال غرب، توفه‌های دریاچه‌ای متعلق به ولکانیزم سهند در جنوب شرق و رسوبات آبرفتی عهد حاضر در بخش مرکزی و جنوبی منطقه. پدیده‌های زمین‌شناسی نظیر آتشفسان سهند و حرکات گسل شمال تبریز، در

بخش جنوبی گسل (فرودبیواره) واقع شده‌اند که عمیق‌ترین آنها ۱۲۰ متر عمق دارد و میانگین عمق چاه‌ها در این بخش ۸۵/۰۳ متر می‌باشد (جدول ۱). عمق کم چاه‌ها در بخش شمالی می‌تواند به حرکات شیب لغز گسل شمال تبریز نسبت داده شوند.

شده‌اند. کلیه چاه‌ها تا برخورد به سنگ کف آبخوان (مارن قرمز میوسن) حفاری شده‌اند. از ۵۱ حلقه چاه حفر شده، ۲۲ حلقه در بخش شمالی گسل (فرادبیواره) واقع‌اند که عمیق‌ترین آنها ۳۷ متر عمق دارد و میانگین عمق چاه‌های این بخش ۲۹/۳۱ متر می‌باشد. ۲۹ حلقه چاه باقیمانده در

جدول ۱. حداکثر، حداقل و میانگین عوامل کمی آب‌های زیرزمینی منطقه مورد مطالعه (فروردین ماه ۱۳۹۳)

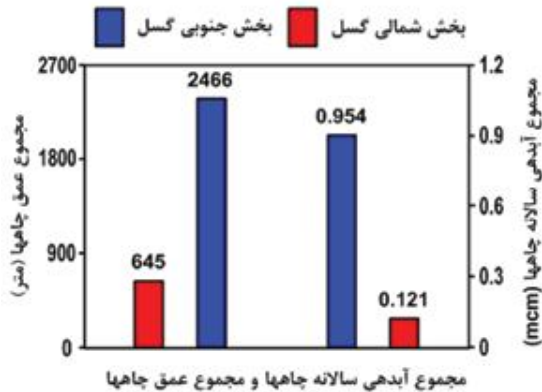
میانگین میلیون	بخش جنوبی گسل			بخش شمالی گسل			پارامترها
	حداقل	حداکثر	میانگین	حداقل	حداکثر	میانگین	
۸۵/۳	۴۸	۱۲۰	۲۹/۳۱	۲۰	۳۷	۲۹	عمق چاه (متر)
۱۸۳۰/۰۷	۱۸۲۵/۲۷	۱۸۳۲/۵۷	۱۸۳۵/۸۷	۱۸۳۲/۹۳	۱۸۳۸/۸۳	۱۸۳۷/۸۳	تراز آب‌زیرزمینی (متر)
۳۲۸۹۶	۱۳۰۰	۱۰۲۰۰	۵۵۰۰	۱۸۰۰	۷۴۰۰	۷۴۰۰	آبدھی سالانه (متر مکعب بر سال)

ساختار آبخوان

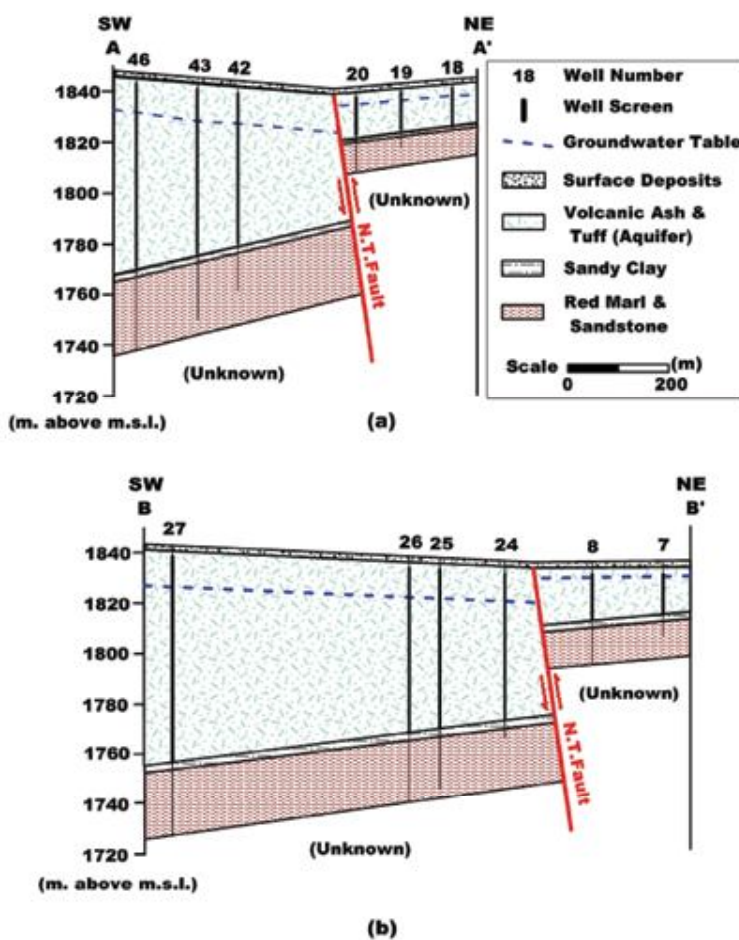
بررسی لاغ چاه‌های منطقه نشان‌دهنده تغییرات وسیع در ویژگی‌های هیدرواستراتیگرافی آبخوان می‌باشد. در تمامی چاه‌های واقع در هر دو بخش شمالی و جنوبی گسل، پس از لایه‌های توف‌آبدار، لایه‌ای به ضخامت حدود دو متر از جنس رس ماسه‌دار سیاه رنگ وجود دارد که درست بر روی سنگ کف مارنی واقع شده‌است. همان‌گونه که در مقاطع عرضی رسم شده در شکل ۴ قابل رویت است، سنگ کف آبخوان در هر دو بخش جنوبی و شمالی دارای شیب به سمت جنوب غرب است که می‌تواند دلیل افزایش ضخامت اشباع آبخوان در بخش جنوبی باشد.

همان‌گونه که در مقاطع عرضی رسم شده قابل مشاهده است، سنگ کف بخش شمالی قرار گرفته و ضخامت اشباع بخش شمالی کف بخش جنوبی قرار گرفته و ضخامت اشباع بخش شمالی بسیار کمتر از بخش جنوبی است. این می‌تواند نشان‌دهنده حرکت شیب لغز معکوس گسل شمال تبریز در این منطقه باشد که در اثر آن، بخش شمالی (فرادبیواره) بر روی بخش جنوبی (فرودبیواره) لغزیده است. تغییر قابل توجه تراز سنگ کف آبخوان در فاصله‌ای نسبتاً کم (کمتر از ۲۰۰ متر)، می‌تواند نشانه‌ای بر شیب نزدیک به قائم برای گسل در این منطقه باشد. مطالعه ویژگی‌های هیدرواستراتیگرافی لاغ چاه‌ها نشان‌دهنده غیر محبوس بودن لایه آبدار منطقه می‌باشد که از تجمع توف‌های تراوا تشکیل یافته است و در کل منطقه به صورت مستقیم بر روی مارن میوسن قرمز رنگ قرار گرفته است.

مجموع عمق چاه‌های منطقه برای بخش جنوبی و شمالی گسل به ترتیب ۲۴۶۶ و ۶۴۵ متر می‌باشد که نشان‌دهنده تقاضا فاحش و چهار برابری مجموع عمق چاه‌های بخش جنوبی نسبت به بخش شمالی گسل است (شکل ۳). مجموع آبدھی سالانه چاه‌های واقع در بخش جنوبی ۹۵۴/۰ میلیون متر مکعب و برای چاه‌های بخش شمالی ۱۲۱/۰ میلیون متر مکعب می‌باشد. مجموع آبدھی سالانه چاه‌های بخش جنوبی در حدود هشت برابر مجموع آبدھی چاه‌های بخش شمالی است. با توجه به اینکه تمامی چاه‌های منطقه شامل چاه‌های واقع در بخش شمالی و جنوبی، در مجاورت گسل و تا شعاع ۵۰۰ متری آن تمرکز یافته‌اند نشان‌دهنده تغییرات زیاد در خصوصیات هیدرولوژیک طرفین گسل و در فاصله‌ای نسبتاً کم می‌باشد.

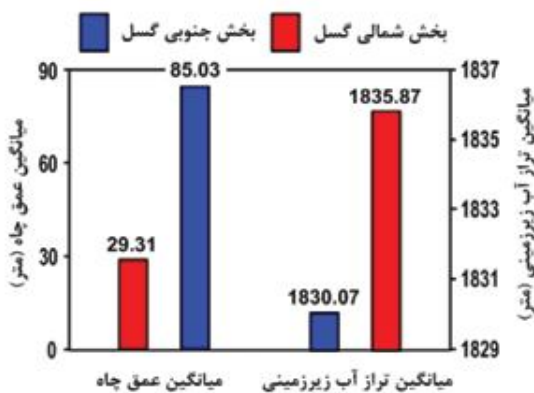


شکل ۳. مجموع آبدھی سالانه چاه‌ها و مجموع عمق چاه‌ها چاه‌ها برای بخش‌های شمالی و جنوبی گسل



شکل ۴. مقاطع عرضی از واحدهای زمین‌شناسی منطقه (در مسیرهای AA' و BB' شکل (۲)

تراز سطح آب زیرزمینی آبخوان در طرفین گسل مovid آن است.



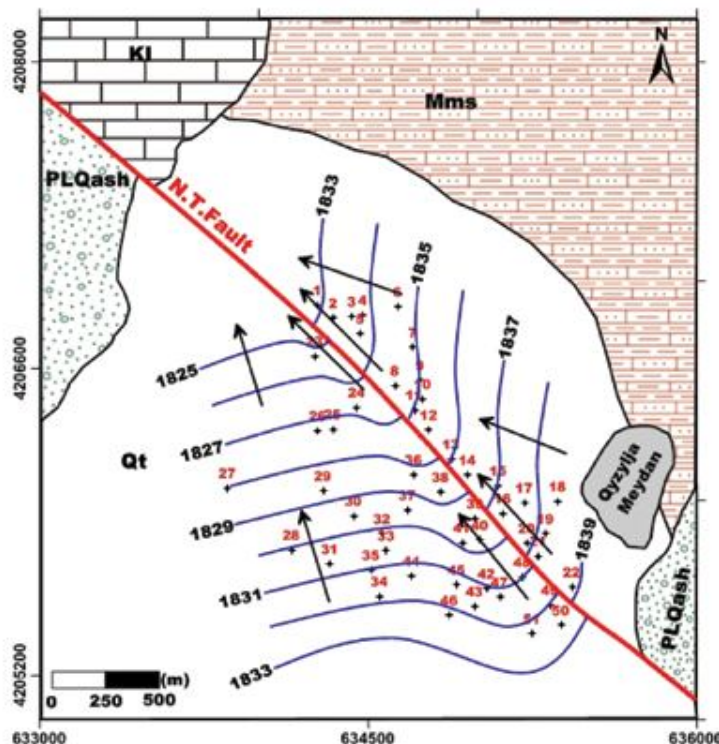
شکل ۵. میانگین تراز سطح آب زیرزمینی و عمق چاهها برای بخش‌های شمالی و جنوبی گسل

منحنی‌های هم میزان تراز سطح آب زیرزمینی در فروردین ماه ۱۳۹۳ برای طرفین گسل به صورت جداگانه رسم شد که الگوی حاصله نشان داد، در هر دو بخش شمالی و جنوبی

تراز سطح آب زیرزمینی در کلیه چاههای منطقه، در فروردین ماه سال ۱۳۹۳ و در شرایط استاتیک اندازه‌گیری شد. سپس میانگین تراز سطح آب زیرزمینی برای طرفین گسل و با استفاده از آمار چاههای واقع در آن بخش محاسبه شد. شکل ۵، اختلاف بین میانگین تراز سطح آب زیرزمینی در بخش‌های شمالی و جنوبی گسل را به همراه تفاوت میانگین عمق چاههای این بخش‌ها نشان می‌دهد که اختلاف آشکار بین تراز سطح آب زیرزمینی طرفین گسل را نمایان می‌سازد. میانگین این اختلاف $5/80$ متر می‌باشد که این اختلاف در برخی مقاطع به بیش از هشت متر نیز بالغ می‌شود (مقاطع BB' شکل ۴). نتایج حاصله می‌تواند نشانه‌ای بر رفتار مانع وار گسل در مقابل جریان از عرض آن در این منطقه باشد که اختلاف فاحش تراز سطح آب

و به موازات روند گسل می‌باشند (شکل ۶). این، می‌تواند نشانه‌ای بر رفتار مانع وار گسل در مقابل جریان آب زیرزمینی افقی از عرض گسل در این منطقه باشد.

گسل، در حالتی نزدیک به عمود به روند گسل قرار دارد و روند کلی گرادیان هیدرولیکی و خطوط جریان آب زیرزمینی در هر دو بخش، از جنوب شرق به شمال غرب و در امتداد



شکل ۶. منحنی‌های هم میزان تراز سطح آب زیرزمینی که به صورت جداگانه برای بخش‌های جنوبی و شمالی گسل و با در نظر گرفتن حضور و موقعیت گسل رسم شده‌اند.

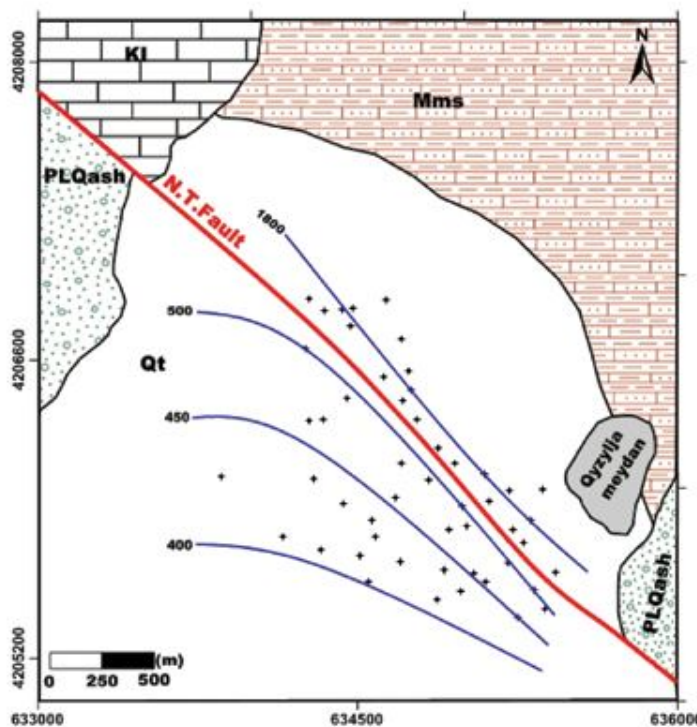
هیدروشیمی و کیفیت آب زیرزمینی

ازیابی هیدروشیمی و کیفیت آب زیرزمینی در طرفین پهنه‌های گسلی در مطالعات هیدرولوژی این پهنه‌ها ضروری و تعیین‌کننده رفتار گسل می‌باشد. براساس نتایج آنالیز نمونه‌ها (جدول ۲)، نمونه‌های آب زیرزمینی بخش شمالی گسل دارای مقادیر هدایت الکتریکی از $454 \mu\text{s}/\text{cm}$ تا $1840 \mu\text{s}/\text{cm}$ و با میانگین مقدار $1816 \mu\text{s}/\text{cm}$ می‌باشند در حالی که مقادیر هدایت الکتریکی نمونه‌های بخش جنوبی از $403 \mu\text{s}/\text{cm}$ تا $517 \mu\text{s}/\text{cm}$ در تغییر بوده.

و میانگین مقدار آن ($\mu\text{s}/\text{cm}$) 454 می‌باشد. در شکل ۷، منحنی‌های هم ارزش مقادیر هدایت الکتریکی نمونه‌های آب زیرزمینی برای بخش‌های شمالی و جنوبی گسل به صورت مجزا و با استفاده از داده‌های همان بخش رسم شده‌است. همان‌گونه که در این شکل مشاهده می‌شود منحنی‌های هم ارزش، به موازات امتداد گسل قرار گرفته‌اند که نشان‌دهنده شبیه زیاد تغییرات کیفی آب زیرزمینی در عرض پهنه گسلی می‌باشد.

جدول ۲. حداکثر، حداقل و میانگین عوامل کیفی آب‌های زیرزمینی منطقه مورد مطالعه (فروردین ماه ۱۳۹۳)

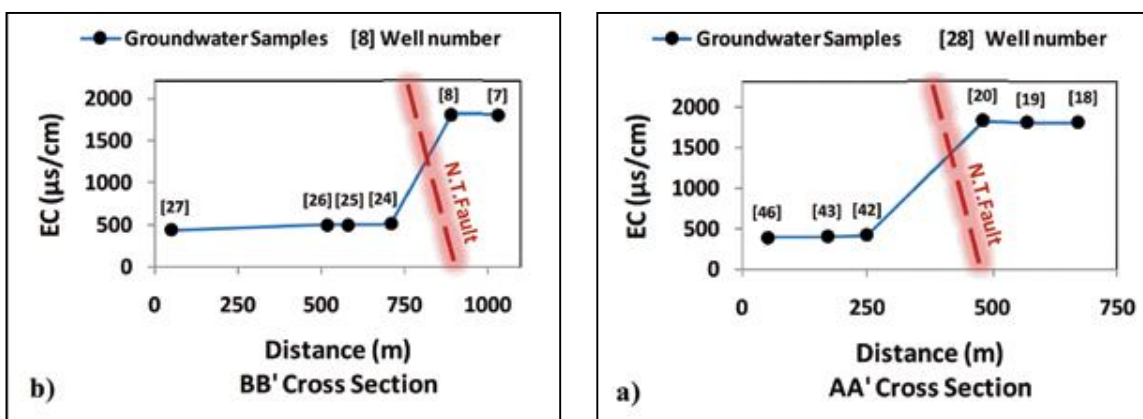
پارامترها	بخش شمالی گسل				بخش جنوبی گسل			
	میانگین	حداقل	حداکثر	میانگین	حداقل	حداکثر	میانگین	پارامترها
PH	۸/۰۲	۷/۹	۸/۲	۷/۲۶	۷/۱	۷/۳	۷/۱	
EC (µs/cm)	۴۵۴	۴۰۳	۵۱۷	۱۸۱۶	۱۸۰۵	۱۸۴۰	۱۸۰۵	
TDS (mg/l)	۳۳۲	۲۹۴	۳۷۷	۱۳۲۶	۱۳۱۸	۱۳۴۳	۱۳۱۸	
Ca++ (meq/l)	۲/۳۷	۲/۸۹	۲/۱	۸/۲۳	۸/۳۲	۸/۱۶	۸/۲۳	
Mg++ (meq/l)	۰/۸۷	۱/۰۶	۰/۷	۲/۹۸	۳/۰۱	۲/۹۵	۲/۹۸	
Na+ (meq/l)	۷/۴۵	۷/۶۲	۷/۳	۶/۶۶	۶/۷۶	۶/۶۱	۶/۶۶	
K+ (meq/l)	۰/۱۲	۰/۱۴	۰/۱	۰/۲۱	۰/۲۲	۰/۲	۰/۲۱	
HCO3- (meq/l)	۲/۴۸	۲/۸۲	۲/۲	۵/۰۷	۵/۱۵	۵/۰۲	۵/۰۷	
CO3- (meq/l)	۰/۴۶	۰/۵۱	۰/۴	۰	۰	۰	۰	
Cl- (meq/l)	۰/۶۸	۰/۷۷	۰/۶	۵/۳۸	۵/۴۵	۵/۳۵	۵/۳۸	
SO4- (meq/l)	۷/۲۸	۷/۷	۰/۹	۷/۶۴	۷/۷۶	۷/۵۸	۷/۶۴	
TH (mg/l)	۱۶۲	۱۴۰	۱۸۷	۵۶۰	۵۵۶	۵۶۸	۵۶۰	



شکل ۷. منحنی‌های هم ارزش مقادیر هدایت الکتریکی آب‌زیرزمینی برای بخش‌های طرفین گسل (با لحاظ نمودن رفتار هیدرولوژیک گسل)

زیاد تغییرات کیفی آب‌زیرزمینی در عرض پهنه گسلی در این شکل نیز کاملاً مشهود است. نتایج حاصل از مقایسه شکل‌های ۷ و ۸ می‌تواند دلیل دیگری بر رفتار مانع وار پهنه گسلی در مقابل جريان آب‌زیرزمینی از عرض گسل باشد.

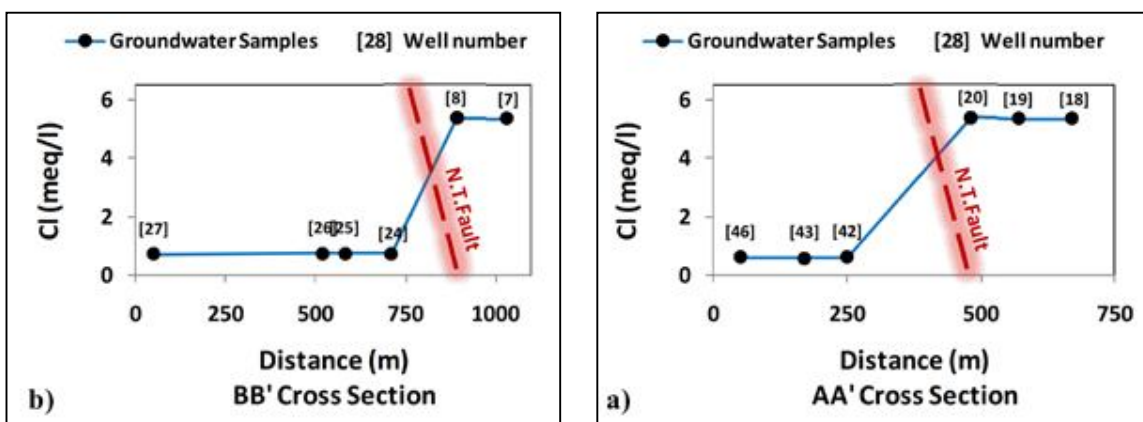
همچنین نمودار تغییرات مقادیر هدایت الکتریکی ویژه نمونه‌های آب‌زیرزمینی در راستای مقاطع زمین‌شناسی AA' و BB' با استفاده از داده‌های نمونه‌های مربوط به چاه‌های واقع در مسیر این مقاطع، در شکل ۸ رسم شده‌اند. شب



شکل ۸. نمودار تغییرات مقادیر EC آب زیرزمینی در عرض گسل و در راستای مقاطع زمین‌شناسی 'AA' و 'BB'

مقاطع، رسم و در شکل ۹ ارائه شده است. شبیه زیاد تغییرات کیفی آب زیرزمینی در عرض پهنه گسلی کاملاً آشکار است. نتایج حاصل از بررسی تغییرات مقادیر کل در منطقه، نتایج حاصل از تغییرات مقادیر EC ارائه شده در شکل‌های ۷ و ۸ را مورد تائید قرار داده و می‌تواند دلیل دیگری بر رفتار مانع وارزون گسلی در مقابل جریان آب زیرزمینی از عرض گسل باشد.

جهت حصول اطمینان از نتایج تغییرات کیفی آب زیرزمینی در منطقه، تغییرات مقادیر کل (به عنوان عنصر Conservative) نمونه‌های آب زیرزمینی در منطقه برحسب میلی اکی والان بر لیتر مورد ارزیابی قرار گرفتند. نتایج آنالیز مقادیر کل نمونه‌ها به صورت نمودار تغییرات مقادیر و در راستای مقاطع زمین‌شناسی 'AA' و 'BB' و با استفاده از داده‌های نمونه‌های مربوط به چاههای واقع در مسیر این



شکل ۹. نمودار تغییرات مقادیر کل آب زیرزمینی در عرض گسل و در راستای مقاطع زمین‌شناسی 'AA' و 'BB'

جنوبی گسل مشهود می‌باشد که این می‌تواند به حضور واحدهای مارن ژپس دار و ماسه سنگ میوسن در ارتفاعات بخش شمالی منطقه مورد مطالعه نسبت داده شود.

کیفیت آب برای مصارف مختلف

در این مطالعه به منظور بررسی تاثیر گسل شمال تبریز بر تغییرات مکانی کیفیت آب جهت مصارف شرب،

غلظت یون‌های محلول در آب زیرزمینی، معمولاً توسط لیتلولوژی، ماهیت واکنش‌های هیدروژئوشیمیایی و یا به وسیله قابلیت انحلال کانی‌هایی که در مسیر جریان آب زیرزمینی قرار گرفته‌اند کنترل می‌شود. بر اساس نتایج حاصله از آنالیزهای کیفی ارائه شده در جدول ۲، مقادیر مازاد غلظت یون‌های محلول در آب زیرزمینی نمونه‌های بخش شمالی گسل نسبت به نمونه‌های بخش

در جدول ۳ غلظت یون‌های نمونه آب‌های منطقه مورد مطالعه با استانداردهای ارائه شده مقایسه شده است.

نتایج حاصل از آنالیز فاکتورهای هیدروشیمیابی آب‌های زیرزمینی منطقه با استانداردهای کیفیت آب شرب ارائه شده در کشور (استاندارد ۱۰۵۳ ایران) مقایسه شد.

جدول ۳. مقایسه غلظت برخی از یون‌های نمونه‌های آب‌های زیرزمینی منطقه مورد مطالعه با استاندارد ملی برای مصارف شرب

بخش جنوبی گسل		بخش شمالی گسل		حداکثر مجاز		مقدار مطلوب	پارامترها
حداقل	حداکثر	حداقل	حداکثر	حداکثر	حداقل		
۷/۹	۸/۲	۷/۱	۷/۳	۹/۲	۷-۸/۵	PH	
۲۹۴	۳۷۷	۱۳۱۸	۱۳۴۴	۱۵۰	۵۰۰	TDS (mg/l)	
۴۲	۵۳/۹	۱۶۴/۲	۱۶۷/۱	۲۰۰	۷۵	Ca++ (mg/l)	
۸/۴	۱۲/۷	۳۵/۴	۳۶/۱	۱۵۰	۵۰	Mg++ (mg/l)	
۲۹/۹	۳۷/۲	۱۵۲	۱۵۵/۵	۲۰۰	-	Na+ (mg/l)	
۲۱/۳	۲۷/۳	۱۸۹/۹	۱۹۳/۴	۶۰۰	۲۰۰	Cl- (mg/l)	
۴۳/۲	۸/۷	۳۶۳/۸	۳۷۲/۵	۴۰۰	۲۰۰	SO4- (mg/l)	
۱۴۰	۱۸۷	۵۵۶	۵۶۸	۵۰۰	۱۰۰	TH (mg/l)	

شمالی گسل دارای ضریب لائزیله منفی است و میانگین مقدار ضریب لائزیله برای نمونه‌های بخش شمالی گسل ۰/۲۱- می‌باشد که حاکی از خورنده بودن این آب‌ها می‌باشد. این در حالی است که تمامی نمونه‌های آب‌زیرزمینی بخش جنوبی گسل دارای ضریب لائزیله مثبت است و میانگین مقدار ضریب لائزیله برای نمونه‌های این بخش گسل ۰/۰۷ است. می‌باشد که مقداری خیلی نزدیک به صفر است و حاکی از متعادل بودن این آب‌ها می‌باشد. تغییرات ضریب لائزیله برای آب‌های زیرزمینی براساس شماره چاه و نیز مقدار TDS در شکل ۱۰ ارائه شده است. همان‌گونه که در شکل ۱۰ a مشخص است نمونه‌های آب‌زیرزمینی متعلق به چاه شماره ۱ تا ۲۲ که مربوط به بخش شمالی گسل می‌باشند دارای ضریب منفی، و نمونه‌های متعلق به چاه شماره ۲۳ تا ۵۱ دارای ضریب مثبت نزدیک به خط صفر می‌باشند. شکل b، نشان‌دهنده تاثیر مقدار TDS بر مقادیر ضریب لائزیله می‌باشد. نمونه‌های مربوط به بخش شمالی که دارای TDS بیشتری نسبت به بخش جنوبی هستند خاصیت خورنده‌گی نشان می‌دهند درحالی که نمونه‌های بخش جنوبی حالت متعادل با کمی گرایش به پوسته‌گذاری را نشان می‌دهند. این با واقعیت منطقه نیز تطابق کامل دارد چرا که اکثر صنایع موجود در منطقه در بخش جنوبی گسل متتمرکز شده‌اند و صنایعی هم که از دیر باز در بخش شمالی گسل

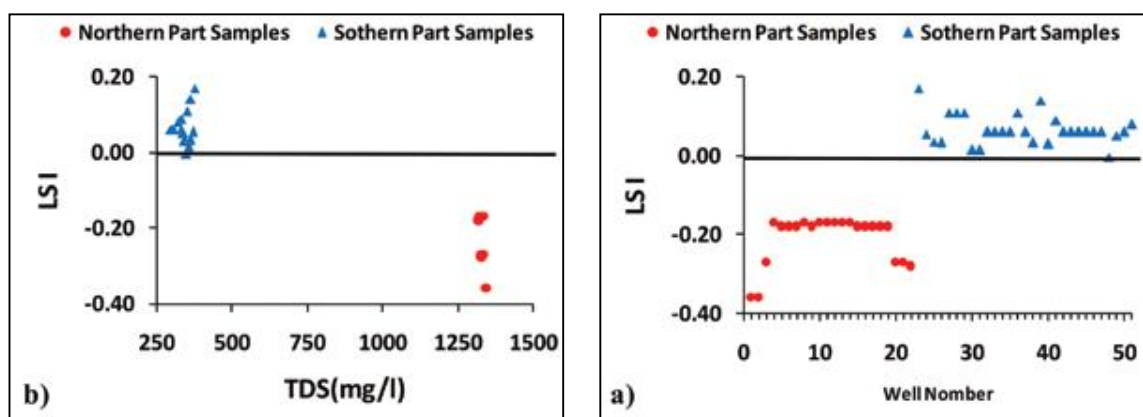
بررسی غلظت یون‌های موجود در ترکیب آب‌های منطقه مورد مطالعه نشان می‌دهد که غلظت یون‌های موجود در اکثر نمونه‌های بخش شمالی گسل زیادتر از مقدار مطلوب می‌باشد (به استثنای منیزیم و کلر) و سختی کل نمونه‌های این بخش نیز، بالاتر از حد اکثر مجاز می‌باشد. لذا آب‌های زیرزمینی بخش شمالی گسل برای مصارف شرب مناسب نمی‌باشند. نمونه‌های بخش جنوبی گسل دارای غلظت یونی در محدوده مقدار مطلوب است، لذا جهت مصارف شرب مناسب می‌باشند. لازم به ذکر است آب شرب تنها روستای واقع در منطقه مورد مطالعه (روستای قزلجه میدان) از منابع آب‌زیرزمینی واقع در بخش جنوبی گسل تامین می‌شود. به منظور تعیین کیفیت آب جهت مصارف صنعتی، ضریب لائزیله (I_1) نمونه‌های آب‌زیرزمینی منطقه مورد مطالعه براساس رابطه $pH_m - pH_i = I_1$ محاسبه شد. در این رابطه، pH_m ، pH_i واقعی آب‌زیرزمینی و pH_i آب‌زیرزمینی در حالت اشباع از کربنات کلسیم می‌باشد. در این رابطه، چنانچه ضریب لائزیله عددی مثبت (بزرگ‌تر از صفر) باشد آب تمایل به پوسته‌گذاری دارد. در شرایطی که ضریب لائزیله عددی منفی (کوچک‌تر از صفر) باشد آب خورنده است و در حالتی آب متعادل خواهد بود که ضریب مذکور صفر باشد. با توجه به نتایج بررسی به عمل آمده که در جدول ۴ ارائه شده است تمامی نمونه‌های آب‌زیرزمینی بخش

اغلب برای آبیاری فضای سبز یا مصارف بهداشتی صنایع موجود کاربرد دارد.

قرار گرفته‌اند آب مورد نیاز خود را از چاههای بخش جنوبی تامین می‌نمایند. آب چاههای واقع در بخش شمالی گسل،

جدول ۴. پارامترهای کیفی آب‌های زیرزمینی منطقه مورد مطالعه از نظر قابلیت استفاده در مصارف صنعتی

پارامترها	بخش شمالی گسل				بخش جنوبی گسل			
	میانگین	حداقل	حداکثر	میانگین	حداقل	حداکثر	میانگین	
PHm	۷/۰۲	۷/۹	۸/۲	۷/۲۶	۷/۱	۷/۳	۷/۰۲	
TDS (mg/l)	۲۳۲	۲۹۴	۳۷۷	۱۳۲۶	۱۳۱۸	۱۳۴۳	۱۳۲۶	
PHs	۸/۱	۸	۸/۲	۷/۴	۷/۴	۷/۴	۷/۱	
LSI	۰/۰۷	۰	۰/۱۷	-۰/۲۱	-۰/۱۷	-۰/۳۶	-۰/۳۶	



شکل ۱۰. نمودار تغییرات ضریب لانژلیه نمونه‌های آب زیرزمینی منطقه مورد مطالعه (a) براساس شماره چاه و (b) نسبت به میزان TDS

نتیجه‌گیری

فاصله‌ای نسبتاً کم (کمتر از ۲۰۰ متر)، می‌تواند نشانه‌ای بر شیب نزدیک به قائم برای گسل در این منطقه باشد. مطالعه تغییرات تراز سطح آب زیرزمینی در منطقه، حاکی از وجود اختلاف آشکار بین تراز سطح آب زیرزمینی طرفین گسل است. میانگین این اختلاف ۵/۸۰ متر می‌باشد که این اختلاف در برخی مقاطع به بیش از هشت متر نیز بالغ می‌شود. همچنین، براساس منحنی‌های هم میزان تراز سطح آب زیرزمینی حاصله برای فروردین ماه ۱۳۹۳، الگوی آنها در هر دو بخش شمالی و جنوبی گسل، در حالتی نزدیک به عمود به روند گسل قرار داشته و روند کلی گرادیان هیدرولیکی و خطوط جريان آب زیرزمینی در هر دو بخش، از جنوب شرق به شمال غرب و در امتداد به موازات روند گسل می‌باشند. نتایج حاصله می‌تواند نشانه‌ای بر رفتار مانع وار گسل در مقابل جريان از عرض آن در این منطقه باشد.

طبق نتایج حاصل از این مطالعه، در منطقه مورد مطالعه، چاههای منطقه اکثراً در مجاورت گسل و به موازات راستای آن پراکنده شده‌اند. از ۵۱ حلقه چاه حفر شده، ۲۲ حلقه در بخش شمالی گسل (فرادیواره) واقع‌اند که میانگین عمق چاههای این بخش ۲۹/۳۱ متر می‌باشد. ۲۹ حلقه چاه باقیمانده در بخش جنوبی گسل (فرودیواره) واقع شده‌اند که میانگین عمق چاهها در این بخش ۸۵/۰۳ متر می‌باشد. عمق کم چاه‌ها در بخش شمالی می‌تواند به حرکات شیب‌لغز گسل شمال تبریز نسبت داده شوند. مقایسه مجموع عمق چاههای منطقه نشان‌دهنده تفاوت فاحش و چهار برابر مجموع عمق چاه‌های بخش جنوبی نسبت به بخش شمالی گسل است. مجموع آبدهی سالانه چاههای واقع در بخش جنوبی در حدود هشت برابر مجموع آبدهی چاههای بخش شمالی است. تغییر شایان توجه تراز سنگ کف آبخوان در

قدردانی

نویسنده‌گان مقاله بر خود لازم می‌دانند از آقای مهندس جعفر ادراکی، کارشناس ارشد شرکت آب منطقه‌ای آذربایجان شرقی به دلیل همکاری صمیمانه ایشان در مطالعات صحرائی قدردانی کنند.

منابع

- Anderson, E. and Bakker, M., 2008. Groundwater flow through anisotropic fault zones in multi-aquifer systems. *Water Resource Research*, 44, W11433.
- Bense, VF., Gleeson, T., Loveless, SE., Bour, O. and Scibek, J., 2013. Fault zone hydrogeology. *Earth Science Reviews*, 127, 171-192.
- Bethke, CM. and Johnson, TM., 2008. Groundwater age and groundwater age dating. *Annual Review Earth and Planetary Science Letters*, 36, 121-152.
- Burbey, T., 2008. The influence of geologic structures on deformation due to ground water withdrawal. *Ground Water*, 46, 202-211.
- Caine, JS., Evans, JP. and Forster, CB., 1996. Fault zone architecture and permeability structure. *Geology*, 24, 1025-1028.
- Chester, FM. and Logan, JM., 1986. Implications for mechanical properties of brittle faults from observations of the Punchbowl fault zone, California. *Pure Applied Geophysics*, 124, 80-106.
- Djamour, Y., Vernant, P., Nankali, HR. and Tavakoli, F., 2011. NW Iran-eastern Turkey present-day kinematics: Results from the Iranian permanent GPS network. *Earth and Planetary Science Letters*, 307, 27-34.
- Emberger, L., 1955. Une classification biogeography que des climats. *Recueil des Travaux Laboratoire Botanique Faculté des Sciences*, 7, 3-43.

طبق نتایج حاصل از ارزیابی هیدروشیمی و کیفیت آب‌زیرزمینی در طرفین زون گسل شمال تبریز در این منطقه، منحنی‌های هم ارزش هدایت الکتریکی به موازات امتداد گسل قرار گرفته‌اند که نشان‌دهنده شبیه زیاد تغییرات کیفی آب زیرزمینی و همچنین شبیه زیاد تغییرات کیفی آب زیرزمینی در عرض پهنه گسلی است و می‌تواند دلیل دیگری بر رفتار مانع وار پهنه گسلی در مقابل جریان آب‌زیرزمینی از عرض گسل باشد. بر اساس نتایج حاصله از آنالیزهای هیدروشیمیابی نمونه‌ها، مقادیر مازاد غلظت یون‌های محلول در آب‌زیرزمینی نمونه‌های بخش شمالی گسل نسبت به نمونه‌های بخش جنوبی آن به دلیل حضور واحدهای مارن‌ژیپس دار و ماسه سنگ میوسن در ارتفاعات بخش شمالی منطقه مورد مطالعه می‌باشد.

بررسی غلظت یون‌های موجود در ترکیب آب‌های منطقه مورد مطالعه نشان می‌دهد آب‌های زیرزمینی بخش شمالی گسل برای مصارف شرب مناسب نمی‌باشند در حالی که نمونه‌های بخش جنوبی گسل دارای غلظت یونی در محدوده مقدار مطلوب بوده و برای مصارف شرب مناسب هستند. تمامی نمونه‌های آب‌زیرزمینی بخش شمالی گسل دارای ضریب لانژلیه منفی است که حاکی از خورنده بودن این آب‌ها می‌باشد. این در حالی است که تمامی نمونه‌های آب‌زیرزمینی بخش جنوبی گسل دارای ضریب لانژلیه مثبت بوده و میانگین مقدار ضریب لانژلیه برای نمونه‌های این بخش گسل ۰/۷٪ می‌باشد که مقداری خیلی نزدیک به صفر بوده و حاکی از متعادل بودن این آب‌ها و مناسب بودن آنها برای مصارف صنعتی می‌باشد. این با واقعیت منطقه نیز تطابق کامل دارد چرا که اکثر صنایع موجود در منطقه در بخش جنوبی گسل متتمرکز شده‌اند و صنایعی هم که از دیر باز در بخش شمالی گسل قرار گرفته‌اند آب مورد نیاز خود را از چاههای بخش جنوبی تامین می‌نمایند. این مسئله تاثیر شگرف پدیده‌های زمین‌شناختی نظری گسل شمال تبریز را در پراکنش و تمرکز صنایع و همچنین تاثیر این پدیده‌ها بر کمیت و کیفیت منابع آب‌زیرزمینی مورد نیازشان نشان می‌دهد.

- Folch, A. and Mas-Pla, J., 2008. Hydrogeological interactions between fault zones and alluvial aquifers in regional flow systems. *Hydrological Process*, 22, 3476–3487.
- Forster, CB. and Evans, JP., 1991. Hydrogeology of thrust faults and crystalline thrust sheets: results of combined field and modeling studies. *Geophysics Research Letters*, 18, 979–982.
- Geraud, Y., Diraison, M. and Orellana, N., 2006. Fault zone geometry of a mature active normal fault: a potential high permeability channel (Pirgaki fault, Corinth rift, Greece). *Tectonophysics*, 426, 61–76.
- Goldscheider, N., 2008. Methods in karst hydrogeology, International Contributions to Hydrogeology, 279.
- Haneberg, WC., 1995. Steady state groundwater flow across idealized faults. *Water Resource. Research*, 31 (7), 1815–1820.
- Jackson, J., 1992. Partitioning of strike-slip and convergent motion between Eurasia and Arabia in Eastern Turkey and the Caucasus. *Journal of Geophysics Research*, 97, 471–12479.
- Leray, S., de Dreuzy, JR., Bour, O., Labasque, T. and Aquilina, L., 2012. Contribution of age data to the characterization of complex aquifers. *Journal of Hydrology*, 464–465, 54–68.
- Mayer, A., May, W., Lukkarila, C. and Diehl, J., 2007. Estimation of fault-zone conductance by calibration of a regional groundwater flow model: Desert Hot Springs, California. *Hydrogeology Journal*, 15, 1093–1106.
- Milanovic, PT., 1988. Karst Hydrogeology. Water Resources Publication.
- Moradi, AS., Hatzfeld, D. and Tatar, M., 2011. Microseismicity and seismotectonics of the North Tabriz fault (Iran). *Tectonophysics*, 506, 22–30.
- Rawling, G. and Goodwin, L., 2003. Cataclasis and particulate flow in faulted, poorly lithified sediments. *Journal of Structural Geology*, 25, 317–331.
- Sengor, AMC., Tuysuz, O., Imren, C., Saking, M., Eyidogan, H., Gorur, N., Le Pichon, X. and Rangin, C., 2005. The North Anatolian Fault: A new look. *Earth Science Reviews*, 33.
- Vafaei, J., Taghikhany, T. and Tehrani-zadeh, M., 2011. Near field effect on horizontal equal-hazard spectrum of Tabriz city in northwest of Iran. *International Journal of Civil Engineering*, 9, 49–56.
- White, WB., 1988. *Geomorphology and Hydrology of Karst Terrains*. Oxford University Press: New York.464.

